

ภาคผนวก

ภาคผนวก ก.

เครื่องมือที่ใช้ในการทำวิจัย

	<p>ผลิตภัณฑ์ Digital Oscilloscope (YOKOGA)</p> <p>รุ่น DL1540 /DL (4 Channel)</p> <p>รายละเอียด 150 MHz Analog Bandwidth</p> <p>200 MS/s on two channel</p> <p>8 bit vertical resolution</p> <p>DC to 30 MHz, 850V</p> <p>(DC+AC peak)2% DC accuracy,</p> <p>Internal low pass filter</p>
	<p>ผลิตภัณฑ์ Power Quality Analyzer (FLUKE)</p> <p>รุ่น FLUKE 43B</p> <p>รายละเอียด 5 to 600 Vrms. 1.00 to 1000 Arms</p> <p>Up to 600 kw., 6 Hz to 99.9 Hz.</p> <p>8 bit vertical resolution</p> <p>Indicates fundamental to 13th harmonics</p> <p>Measures crest factor, PF, DPF, K-factor</p> <p>%THDi, %THD-R</p>
	<p>ผลิตภัณฑ์ Digital Multi Meter (METEX)</p> <p>รุ่น M - 3800</p> <p>รายละเอียด Vac or Vdc : 0 to 700 / 1000 Volts</p> <p>Iac or Idc : 0 to 20 Amp</p>

	<p>ผลิตภัณฑ์ Current Probe (FLUKE)</p> <p>รุ่น 80i-110s AC/DC</p> <p>รายละเอียด 10mV/A, 100mV/A</p> <p>Input 100A peak Max</p> <p>Frequency: DC to 100 kHz .(@3 db)</p> <p>Output 10 mV/A, 100 mV/A CAT III</p>
---	--

	<p>ผลิตภัณฑ์ True RMS Multimeter</p> <p>รุ่น LM 1005</p> <p>รายละเอียด • Total rms value (RMS-AC+DC)</p> <ul style="list-style-type: none"> • Ripple rms value (RMS-AC) • Arithmetic mean value (AV-AC+DC) • Permanent moving moving-coil instrument class 1.5 / double scale Scale 1: measurement range 0 - 10 Scale 2: measurement range 0 - 3 • Internal resistance: current path 10mOhm, voltage path 10MOhm Voltage ranges: 3; 10; 30; 100; 300; 1000V • Current ranges: 0.1; 0.3; 1; 3; 10; 30A Crest factor: 10 • Measurement accuracy: 2% • Operating voltage: 230V, 50Hz • Dimensions: 210 x 90 x 130mm (WxHxD) • Weight: 1kg
---	--

	<p>ผลิตภัณฑ์ Digital Clamp Meter</p> <p>รุ่น 266 (YUGO)</p> <p>รายละเอียด</p> <ul style="list-style-type: none"> • DCV: 0-1000V ±0.5% • ACV: 0-750V ±1.2% • ACA: 200-1000A ±2.5% • OHM: 200-20k-20MΩ-2000MΩ±1.0% • Dimensions: 70 x 230 x 37mm • Battery: popular 9V x 1 • Accessories: carrying case
---	---

	<p>ผลิตภัณฑ์ Power Factor (cosphi) Meter</p> <p>รุ่น LM 1020</p> <p>รายละเอียด</p> <ul style="list-style-type: none"> • Electrically immune to damage up to 1kV and 30A • Permanent moving coil instrument class 1.5 / double scale • Scale 1: Measurement range cos-phi: 0 cap over 1 to 0 ind • Scale 2: Measurement range phase angle: 90° cap over 0 up to 90° ind • No current - voltage range switchover • Internal resistance: current path 10 mOhm, voltage path 10 MOhm • Measurement range: cos-phi: 0 cap over 1 up to 0 ind, phase angle: 90° cap over 0 up to 90° ind • Measurement accuracy: 3% • Operating voltage: 230 V, 50 Hz • Dimensions: 210 x 90 x 130mm (WxHxD) • Weight: 1kg
---	--

	<p>ผลิตภัณฑ์ Differential Probe (YOKOGA)</p> <p>รุ่น 700925</p> <p>รายละเอียด 1/10V, 1/100V</p> <p>500V Peak Max</p>
	<p>ผลิตภัณฑ์ Electronic Universal Wattmeter</p> <p>รุ่น LM 1010</p> <p>รายละเอียด</p> <ul style="list-style-type: none"> • Electrically immune to damage up to 1kV and 30A • Overload resistant for current and voltage signals • Permanent moving coil instrument class 1.5 / double scales Scale 1: measurement range 0 - 10 Scale 2: measurement range 0 - 3 • Active - reactive power measurement from 0.3W (Var) up to 30kW (kVar) • Internal resistance: current path 10 mOhm, voltage path 10 Mohm • Crest factor: 2 • Measurement accuracy: 2% • Operating voltage: 230V,50Hz • Dimensions: 210 x 90 x 130mm (WxHxD) • Weight: 1kg

ภาคผนวก ข.

ภาพโครงการโดยรวมของงานวิจัย และภาพต้นแบบงานวิจัย



รูปที่ ข.1 โครงการโดยรวม



รูปที่ ข.2 ต้นแบบที่สร้างขึ้น

ภาคผนวก ค.

ผลงานวิจัยที่ได้รับการตีพิมพ์เผยแพร่



ISSN 0125-1724

วิศวกรรม

ลาดกระบัง

คณะวิศวกรรมศาสตร์ สถาบันเทคโนโลยีพระจอมเกล้าเจ้าคุณทหารลาดกระบัง

LADKRABANG ENGINEERING JOURNAL

ปีที่ 23 ฉบับที่ 1

มีนาคม 2549

- | | | |
|-----|---|----|
| 1. | Direction Sequence Construction for Offline Thai Handwriting
<i>Kor Kittikorn Boontee Kruatrachue</i> | 1 |
| 2. | การสังเคราะห์วัสดุประกอบคล้ายไม้จากพีวีซีกับผงหนังและเยื่อชานอ้อย
<i>ไพศาล นาคพิพัฒน์ เตือนพร บุญศิริคำชัย</i> | 7 |
| 3. | การออกแบบวงจรรายยป้อนกลับกระแสแรงดันต่ำ
<i>มนตรี สุขเลี้ยง สมปอง วิเศษพานิชกิจ กอบชัย เดชหาญ</i> | 14 |
| 4. | วงจรกรองความถี่ใบควอต OTA-C ที่โปรแกรมได้ทางดิจิทัล
<i>สุรัตน์ สุภรณ์ระ มนตรี คำเงิน พิพัฒน์ พรหมมี กอบชัย เดชหาญ กฤษณ์ อ่างแก้ว จิระศักดิ์ ชาญวดีธรรม</i> | 20 |
| 5. | การศึกษาคุณสมบัติทางไฟฟ้าและผลตอบสนองของทางแสงของฟิล์มเพชร
<i>ทรงเกียรติ กิตติสินธิรักษ์ วิสุทธิ์ วิดีรุ่งเรือง</i> | 26 |
| 6. | โฟโตไดโอดแบบรอยต่อเนื้อสารชนิดเดียวกันของฟิล์มเพชรชนิดเฮนและฟิล์มเพชรชนิดพี
<i>ทรงเกียรติ กิตติสินธิรักษ์ วิสุทธิ์ วิดีรุ่งเรือง</i> | 32 |
| 7. | คอนเวอร์เตอร์ดีซี-เอซี เชื่อมต่อการไฟฟ้าโดยมีการแก้ไขตัวประกอบกำลังด้วยตัวควบคุมสัญญาณดิจิทัล
<i>วิมลชัย ชูรักษ์ วิจิตร กิณเรศ</i> | 38 |
| 8. | การศึกษาการตรวจจับแ่งตัวนำโรเตอร์แตกหักในมอเตอร์เหนี่ยวนำโดยใช้โครงข่ายประสาทเทียม
<i>กมล สะอาดยวง เอลิมชาติ มานพ วิจิตร กิณเรศ สุรชาติ ลีรากวีผล</i> | 44 |
| 9. | รถไฟฟ้าขับเคลื่อนสี่ล้อ
<i>โสภณ สวัสดิ์นาริน ประภาส ไพรสุวรรณ</i> | 50 |
| 10. | การใช้วิธีควบคุมแบบฟิวลีโอเรียลไทม์สำหรับควบคุมการเปลี่ยนความเร็วของเครื่องกำเนิดไฟฟ้ากังหันลม
<i>ยุวลักษณ์ พัฒนาศิลป์ มณฑล ลีลาจินดาไกรฤกษ์</i> | 56 |
| 11. | การวิเคราะห์การสูญเสียที่เพิ่มขึ้นของมอเตอร์เหนี่ยวนำที่เกิดจากแรงดันฮาร์มอนิกส์ที่ป้อนด้วยที่ดับบลิ้วเอ็ม
โดยอินเวอร์เตอร์หลายระดับชนิดเอชบริดจ์
<i>ฉัตรชัย เอมสะอาด วิจิตร กิณเรศ</i> | 62 |
| 12. | การวิเคราะห์ความเชื่อถือได้ของระบบไฟฟ้ากำลังโดยพิจารณาการทำงานผิดพลาดของระบบป้องกันโซน 3
<i>ไพโรจน์ เทียนทอง มณฑล ลีลาจินดาไกรฤกษ์</i> | 68 |
| 13. | วงจรสวิตช์โหมดฮาล์ฟบริดจ์คอนเวอร์เตอร์ที่มีการปรับปรุงแรงดันตกคร่อมระหว่างคาปาซิเตอร์ไม่สมดุล
<i>จากรุณี จันทร์โร วิจิตร กิณเรศ</i> | 74 |
| 14. | การออกแบบและวิเคราะห์สวิตช์โหมดเอซี-ดีซีคอนเวอร์เตอร์ทางด้านอินพุตสำหรับเครื่องเชื่อมไฟฟ้ากระแสตรงที่
มีการควบคุมกระแสปฐมภูมิของหม้อแปลงความถี่สูง
<i>พูนศรี วรรณการ ประภาส ไพรสุวรรณ วิจิตร กิณเรศ</i> | 80 |

**การออกแบบและวิเคราะห์สวิตช์โหมดเอซี-ดีซีคอนเวอร์เตอร์
ทางด้านอินพุตสำหรับเครื่องเชื่อมไฟฟ้ากระแสตรงที่มีการ
ควบคุมกระแสปฐมภูมิของหม้อแปลงความถี่สูง**

**Design and Analysis of a Front-End AC-DC Switched Mode
Converter for a DC Electric Welder with Primary Current
Control of High Frequency Transformer**

พูนศรี วรรณการ ประภาส ไพรสวรรณา วิจิตร กิณเรศ
ภาควิชาวิศวกรรมไฟฟ้า คณะวิศวกรรมศาสตร์ สถาบันเทคโนโลยีพระจอมเกล้าเจ้าคุณทหารลาดกระบัง

บทคัดย่อ

บทความนี้นำเสนอการวิเคราะห์สวิตช์โหมดเอซี-ดีซีคอนเวอร์เตอร์ทางด้านอินพุตสำหรับเครื่องเชื่อมไฟฟ้ากระแสตรง โดยนำเอาเทคนิคของการควบคุมกระแสแบบพีคดับลิแวมปรับตัวมาใช้ในการควบคุมการสวิตช์ของไอจีบีทีสองตัวที่เพิ่มเข้าไปในวงจรฟูลบริดจ์เร็คติไฟาย เป็นกระบวนการปรับปรุงรูปคลื่นกระแสทางอินพุตของเครื่องเชื่อมไฟฟ้ากระแสตรง และกระแสเชื่อมทางเอาต์พุตควบคุมให้คงที่ โดยใช้หลักการควบคุมแบบป้อนกลับ โดยการตรวจจับกระแสปฐมภูมิของหม้อแปลงความถี่สูงมาเปรียบเทียบกับกระแสอ้างอิงผ่านตัวควบคุมแบบพีไอ แล้วนำสัญญาณพีคดับลิแวมที่ได้ไปควบคุมการสวิตช์ของมอสเฟตในวงจรฟูลบริดจ์อินเวอร์เตอร์ความถี่สูง จากผลการจำลองและทดลองแสดงให้เห็นถึงความสามารถของระบบที่นำเสนอ ให้ผลเป็นที่น่าพอใจ

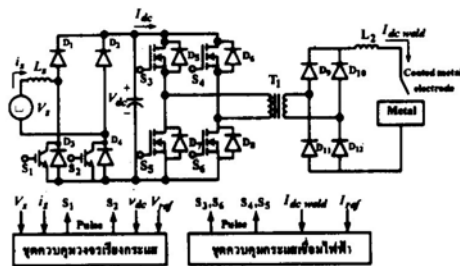
Abstract

This paper presents design and analysis of a front end AC-DC switched mode converter for a dc electric welder. A control technique is based on adaptive PWM current control for switching of two Insulated-Gate-Bipolar-Transistors(IGBT) in a full-bridge converter in order to improve current waveform for input side of the dc electric welder. Output arc current is controlled at constant level by using PI controller which primary current of a high frequency transformer is compared with reference current. Then, resultant PWM signals are used to control Power MOSFET switching devices in a full bridge high frequency inverter. Simulation and experimental results show satisfied capability of the proposed system.

1. บทนำ

ในปัจจุบันนี้เครื่องเชื่อมไฟฟ้ากระแสตรงที่ใช้อินเวอร์เตอร์ความถี่สูงเป็นตัวส่งถ่ายกำลังไฟฟ้า มีการนำมาใช้งานกันแพร่หลายเนื่องจากมีน้ำหนักเบาและให้รอยเชื่อมที่เรียบเมื่อเทียบกับเครื่องเชื่อมไฟสลับ เครื่องเชื่อมไฟฟ้าแบบอินเวอร์เตอร์ที่สร้างขึ้นมารุ่นแรกๆ ได้มีการประยุกต์ใช้หลักการของการควบคุมแบบเลื่อนเฟส แบบซิริวรีโซแนนท์คอนเวอร์เตอร์[1] และใช้หลักการเทคนิคพีคบิดเว็ลคอนเวอร์เตอร์ในการสร้าง[2] ซึ่งก่อให้เกิดกระแสฮาร์โมนิกทางด้านหน้ารบกวนต่อระบบไฟฟ้าที่เชื่อมต่ออยู่กับเครื่องเชื่อมไฟฟ้าแบบอินเวอร์เตอร์

กระแสฮาร์โมนิกที่เกิดขึ้นทำให้ค่าตัวประกอบกำลังมีค่าต่ำ ดังนั้นจึงต้องมีการปรับปรุงรูปคลื่นกระแสทางด้านเข้าของเครื่องเชื่อมไฟฟ้ากระแสตรงที่นำเสนอให้มีรูปคลื่นเป็นไซน์ โดยใช้เทคนิคการควบคุมกระแสแบบติดตามขอบเขตฮิสเตอร์รีซิส ให้อิโอดีที่สองตัวทำงานเป็นสวิตช์ต่อขานานกลับขั้ว(anti-parallel) กับไดโอดคู่ล่างของบริดจ์[3] ข้อดีของโครงสร้างแบบนี้จะทำให้ประหยัดกว่าการใช้ไอจีบีที 4 ตัวแบบเดิมต่อขานานกับไดโอดแต่ละตัว ในวงจรฟูลบริดจ์เรกติไฟายที่ให้ข้อดีในเรื่องการส่งถ่ายกำลังไฟฟ้าได้สองทิศทาง ซึ่งไม่จำเป็นสำหรับงานวิจัยนี้ที่ต้องการส่งถ่ายกำลังไฟฟ้าไปทางด้านเอาต์พุตเพียงทิศทางเดียว ดังนั้นจึงเลือกใช้ไอจีบีที 2 ตัวต่อขานานกับไดโอดสองตัวคู่ล่างในวงจรฟูลบริดจ์เรกติไฟายดังแสดงในรูปที่ 1



รูปที่ 1 วงจรรวมของเครื่องเชื่อมไฟฟ้ากระแสตรงที่นำเสนอ โดย S₁ และ S₂ คือสวิตช์ไอจีบีที และ S₃, S₄, S₅ และ S₆ คือสวิตช์มอสเฟต

2. ทฤษฎีการส่งถ่ายกำลังไฟฟ้า

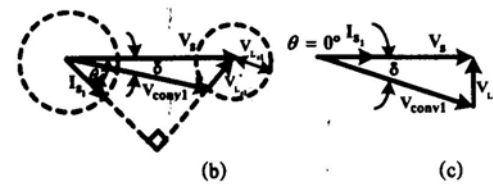
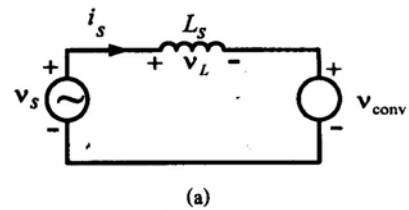
2.1 หลักการทำงานของสวิตช์โหมดคอนเวอร์เตอร์ การวิเคราะห์การส่งถ่ายกำลังไฟฟ้า ระหว่างแหล่งจ่ายแรงดันไฟฟ้ากระแสสลับ v_s ไปยังแรงดันตกคร่อมสวิตช์โหมดคอนเวอร์เตอร์ v_{conv} สามารถเขียนเป็นวงจรมูลแสดงดังรูปที่ 2(a) เฟสเซอร์ไออะแกรมการส่งถ่ายกำลังไฟฟ้าแสดงดังรูปที่ 2(b) และรูปที่ 2(c) แสดงเฟสเซอร์ไออะแกรมการส่งถ่ายกำลังไฟฟ้าในโหมดเรียงกระแสที่มีตัวประกอบกำลังมูลฐานเท่ากับ 1 (DPF ; Displacement power factor) [4]

เมื่อกำหนดให้ v_s เป็นสัญญาณไซน์ และเป็นค่าอ้างอิงโดยพิจารณาที่องค์ประกอบมูลฐานดังสมการที่ (1) และ (2)

$$V_s = V_{conv1} + V_{L_s} \tag{1}$$

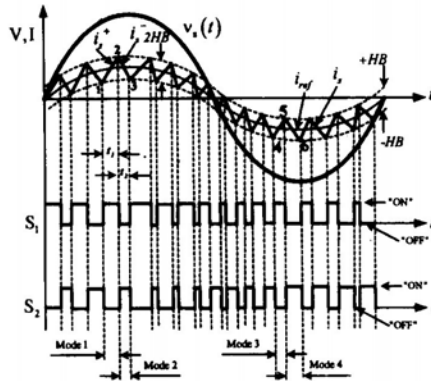
เมื่อ

$$V_{L_s} = j\omega L_s I_{s1} \tag{2}$$



รูปที่ 2 (a) วงจรมูลการส่งถ่ายกำลังไฟฟ้า (b) เฟสเซอร์ไออะแกรมการส่งถ่ายกำลังไฟฟ้า (c) เฟสเซอร์ไออะแกรมในโหมดเรียงกระแสที่มีตัวประกอบกำลังขององค์ประกอบมูลฐานเท่ากับ 1

2.2 การวิเคราะห์การทำงานของสวิตช์โหมค
คอนเวอร์เตอร์



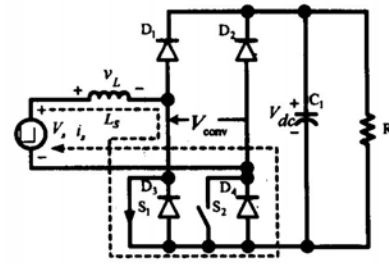
รูปที่ 3 สัญญาณพัลส์ควบคุมสวิตช์ไอจีบีที(S₁ และ S₂)
ที่ได้จากตัวเปรียบเทียบกระแสแบบฮิสเทอรีซิส

สถานะที่ 1 เมื่อแรงดันแหล่งจ่าย v_s อยู่ในซีกบวก แล้วสวิตช์ S₁ 'ON', S₂ 'OFF' ดังรูปที่ 4(a) ตัวเหนี่ยวนำ L_s จะเก็บสะสมพลังงานจากแหล่งจ่ายผ่านสวิตช์ S₁ และ ไดโอด D₄ ทำให้กระแสอินพุต i_s เพิ่มขึ้นจากจุดที่ 1 ไปถึงจุดที่ 2 ในรูปที่ 3 และ V_{conv} จะมีค่าเท่ากับศูนย์โวลต์ โดยแรงดันตกคร่อมตัวเหนี่ยวนำ L_s มีค่าตามสมการที่(3)

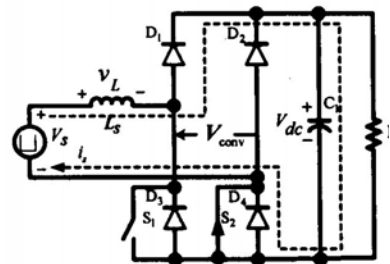
$$V_L = L_s \frac{di_s}{dt} = v_s(t) \quad (3)$$

สถานะที่ 2 เมื่อกระแส i_s เพิ่มขึ้นถึงขอบเขตบนจุดที่ 2 สวิตช์ S₁ 'OFF', S₂ 'ON' จะทำให้ตัวเหนี่ยวนำ L_s คายพลังงานที่เก็บสะสมแล้วทำการชาร์จประจุให้กับคาปาซิเตอร์ C₁ ดังรูปที่ 4(b) กระแสอินพุตจะลดลงจากจุดที่ 2 ไปถึงขอบเขตล่างจุดที่ 3 ในรูปที่ 3 และ V_{conv} จะมีค่าเท่ากับ V_{dc} โดยแรงดันตกคร่อมตัวเหนี่ยวนำ L_s มีค่าตามสมการที่(4)

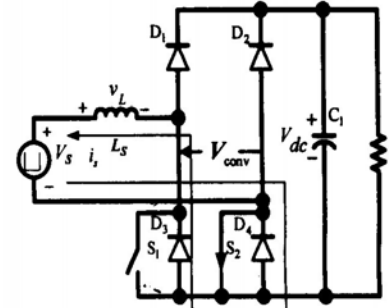
$$V_L = L_s \frac{di_s}{dt} = v_s(t) - V_{dc} \quad (4)$$



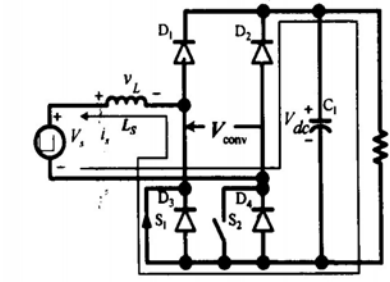
(a) MODE 1 ($V_{conv} = 0$)



(b) MODE 2 ($V_{conv} = V_{dc}$)



(c) MODE 3 ($V_{conv} = 0$)



(d) MODE 4 ($V_{conv} = -V_{dc}$)

รูปที่ 4 สถานะการทำงานของสวิตช์ไอจีบีทีที่ใช้
รูปคลื่นกระแสทางด้านอินพุตของเครื่องเซ่
4 สถานะ

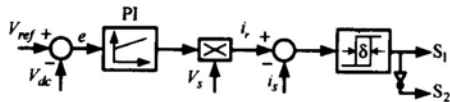
สภาวะที่ 3 เมื่อแรงดันแหล่งจ่าย v_s อยู่ในซีกลบ แล้วสวิทช์ S_1 'OFF' , S_2 'ON' ดังรูปที่ 4(c) ตัวเหนี่ยวนำ L_s จะเก็บสะสมพลังงานจากแหล่งจ่ายผ่านสวิทช์ S_2 และ ไดโอด D_3 ทำให้กระแสอินพุต i_s เพิ่มขึ้นจากจุดที่ 4 ไปถึงจุดที่ 5 ในรูปที่ 3 ดังสมการที่ (5) และ V_{conv} จะมีค่าเท่ากับ ศูนย์โวลต์ โดยแรงดันตกคร่อมตัวเหนี่ยวนำ L_s มีค่าตามสมการที่ (5)

$$V_L = L_s \frac{di_s}{dt} = v_s(t) \quad (5)$$

สภาวะที่ 4 เมื่อกระแส i_s เพิ่มขึ้นถึงขอบเขตบนจุดที่ 5 สวิทช์ S_1 'ON' , S_2 'OFF' จะทำให้ตัวเหนี่ยวนำ L_s คายพลังงานที่เก็บสะสมแล้วทำการชาร์จประจุให้กับคาปาซิเตอร์ C_1 ดังรูปที่ 4(d) กระแสอินพุตจะลดลงจากจุดที่ 5 ไปถึงจุดที่ 6 ในรูปที่ 3 ดังสมการที่ (6) และ V_{conv} จะมีค่าเท่ากับ $-V_{dc}$ โดยแรงดันตกคร่อมตัวเหนี่ยวนำ L_s มีค่าตามสมการที่(6)

$$V_L = L_s \frac{di_s}{dt} = v_s(t) - V_{dc} \quad (6)$$

บล็อกโคแอดแกรมการควบคุมการสวิทช์ของไอจีบีทีในวงจรเรกติไฟเออร์แบบกึ่งควบคุม แสดงดังรูปที่ 5

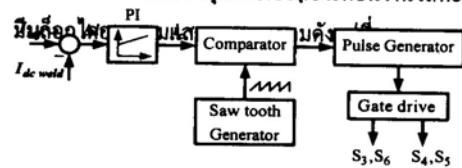


รูปที่ 5 ระบบควบคุมแบบลูปปิดเพื่อควบคุมการสวิทช์ของไอจีบีทีในวงจรเรกติไฟเออร์แบบกึ่งควบคุม

3. การควบคุมกระแสเชื่อมด้านเอาต์พุต

การควบคุมกระแสเชื่อมแบบลูปปิด โดยการตรวจจับกระแสทางด้านอินพุตของหม้อแปลงความถี่สูงที่มีขนาดกระแสต่ำจึงประหยัดค่าใช้จ่ายในการตรวจจับและมีความปลอดภัยกว่าการตรวจจับกระแสทางด้านเอาต์พุตของเครื่องเชื่อม จากนั้นนำสัญญาณที่ได้มาผ่านวงจร

ฮัลฟบริดจ์เรกติไฟเออร์เพื่อแปลงเป็นไฟตรง และนำมาเปรียบเทียบกับกระแสอ้างอิง แล้วผ่านตัวควบคุม PI จากนั้นนำมาเปรียบเทียบกับคลื่นฟันเลื่อยที่มีความถี่คงที่ ซึ่งเป็นความถี่ของการสวิทช์มอสเฟต(f_{sw})ในวงจรพูลบริดจ์อินเวอร์เตอร์จะได้พัลส์ที่ดับบลิเวียมที่มีความกว้างสัมพันธ์กับกระแสเอาต์พุตที่ใช้เชื่อมอาร์คขึ้นงานโลหะ ซึ่ง



รูปที่ 6 ระบบควบคุมแบบลูปปิดเพื่อควบคุมการสวิทช์ของมอสเฟตในวงจรพูลบริดจ์อินเวอร์เตอร์

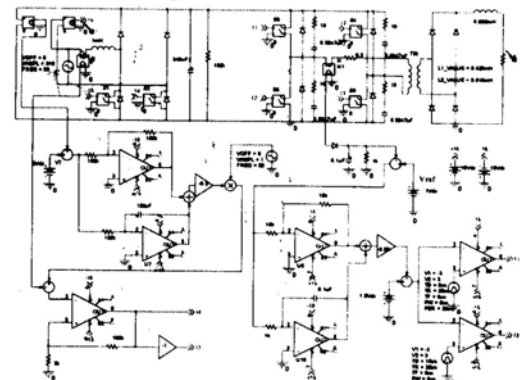
4. การจำลองและการทดลอง

4.1 รายละเอียดการออกแบบ

ตัวอย่างการออกแบบจากวงจรจำลองในรูปที่ 7 เมื่อกำหนดค่าพารามิเตอร์ต่างๆ ของระบบเป็นดังนี้ แรงดันอินพุต $V_s = 220V$, ความถี่ 50 Hz , ตัวเหนี่ยวนำ $L_s = 1$ mH, คาปาซิเตอร์ $C_1 = 940$ uF, แรงดันไฟตรงเอาต์พุตที่ต้องการควบคุม 300 V_{dc} ความถี่สวิทช์สูงสุดของไอจีบีที $f_{s,max} = 20$ kHz และความถี่สวิทช์ของชุดอินเวอร์เตอร์ $f_{s2} = 50$ kHz

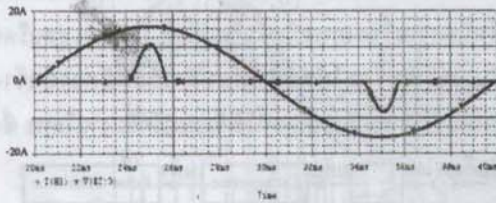
4.2 การจำลอง

วงจรการจำลองเครื่องเชื่อมไฟฟ้ากระแสตรงที่นำเสนอนี้ แสดงดังรูปที่ 7

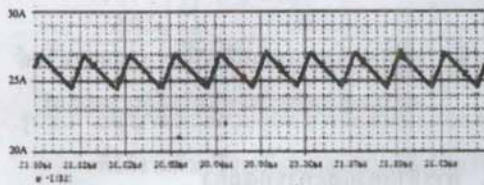


รูปที่ 7 วงจรจำลองของเครื่องเชื่อมไฟฟ้าต้นแบบ

รูปคลื่นกระแสก่อนปรับปรุงทางด้านอินพุต แสดงดังรูปที่ 8 และรูปคลื่นกระแสเอาต์พุตก่อนปรับปรุง แสดงดังรูปที่ 9

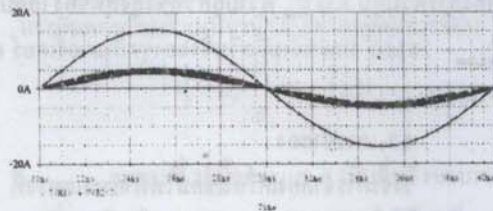


รูปที่ 8 รูปคลื่นจำลองแรงดันและกระแสด้านอินพุต ก่อนปรับปรุง

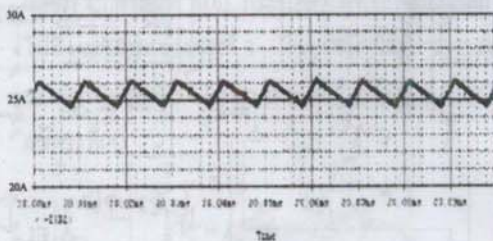


รูปที่ 9 รูปคลื่นจำลองกระแสด้านเอาต์พุตก่อนปรับปรุง

รูปคลื่นแรงดันและกระแสทางด้านอินพุตหลังปรับปรุงแสดงดังรูปที่ 10 และรูปคลื่นกระแสเอาต์พุตหลังปรับปรุงแสดงดังรูปที่ 11



รูปที่ 10 รูปคลื่นจำลองแรงดันและกระแสด้านอินพุต หลังปรับปรุง



รูปที่ 11 รูปคลื่นจำลองกระแสด้านเอาต์พุตหลังปรับปรุง

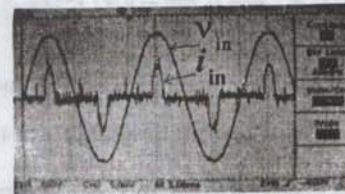
4.3 การทดลอง

จากการจำลองการทำงานของเครื่องเชื่อมนำมาสร้างวงจรต้นแบบ และนำมาทดสอบดังรูปที่ 12



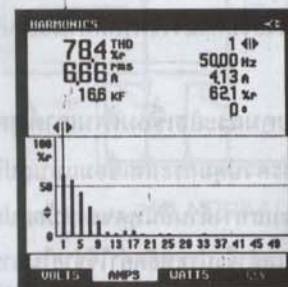
รูปที่ 12 การทดสอบเครื่องเชื่อมไฟฟ้าที่นำเสนอ

ผลการทดลองเมื่อยังไม่ปรับปรุงรูปคลื่นกระแสทางอินพุต แสดงรูปคลื่นแรงดันและกระแสด้านอินพุตได้ดังรูปที่ 13 สเปกตรัมของกระแสฮาร์มอนิกทางด้านอินพุตของเครื่องเชื่อมก่อนปรับปรุงรูปคลื่นกระแสแสดงดังรูปที่ 14 ซึ่งมีค่า $THD_i = 78.4\%$ และรูปคลื่นกระแสเอาต์พุตแสดงดังรูปที่ 15



รูปที่ 13 รูปคลื่นแรงดันและกระแสด้านอินพุตก่อนปรับปรุงที่มีอัตราส่วนแรงดันและกระแส

100V/Div และ 5A/Div

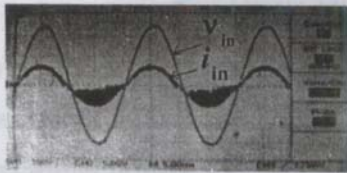


รูปที่ 14 สเปกตรัมของกระแสฮาร์มอนิกทางด้านอินพุตก่อนปรับปรุง

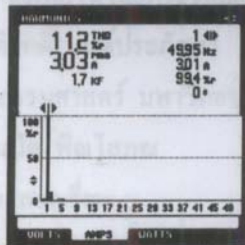


รูปที่ 15 รูปคลื่นกระแสต้านเอาต์พุตก่อนปรับปรุง
สเกลกระแส 20A / Div

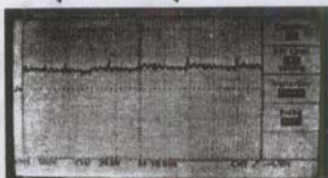
หลังปรับปรุงจะได้รูปคลื่นแรงดันและกระแส
ด้านอินพุตแสดงดังรูปที่ 16 และค่า $THD_V = 11.2\%$ แสดง
ดังรูปที่ 17 ค่ากระแสเอาต์พุตเป็นกระแสคี่ซึ่งมีขนาด 25
A ซึ่งมี ripple ขนาด 4 A ดังแสดงในรูปที่ 18



รูปที่ 16 รูปคลื่นแรงดันและกระแสด้านอินพุตหลัง
ปรับปรุงสเกลแรงดันและกระแส
100V/ Div และ 5A / Div



รูปที่ 17 สเปกตรัมของกระแสฮาร์มอนิกทางด้าน
อินพุตหลังปรับปรุง



รูปที่ 18 รูปคลื่นกระแสต้านเอาต์พุตหลังปรับปรุง
สเกลกระแส 20A / Div



รูปที่ 19 รอยเชื่อมชิ้นงานที่กระแสเอาต์พุตประมาณ 25 A

5. สรุป

การปรับปรุงรูปคลื่นกระแสของเครื่องเชื่อมที่
นำเสนอ โดยใช้เทคนิคของการควบคุมกระแสแบบติดตาม
ขอบเขตฮิสเตอร์รีซีต ที่ได้ออกแบบบทความนี้สามารถ
ปรับปรุงรูปคลื่นกระแสให้เป็นรูปคลื่นไซน์ได้ โดย
ให้ผลเป็นที่น่าพอใจในระดับหนึ่ง ซึ่งในงานวิจัยนี้จะต้อง
ทำการเพิ่มขนาดกระแสเชื่อมทางด้านเอาต์พุตให้สูงขึ้นไป
อีก เพื่อให้เชื่อมอาร์คชิ้นงานโลหะที่มีความหนามากขึ้น

6. เอกสารอ้างอิง

- [1] T.-F. Wu, H.-P. Yung and C.-M. Pan, "Analysis and Design of Variable Frequency and Phase-Shift Controlled Series Resonant Converter Applied for Electric Arc Welding Machines," IEEE PESC., pp.656-661, 1995.
- [2] Y.-M. Chae, J.-S. Gho, W.-S. Shin and J.-Y. Choi, "PWM Converter-Inverter Arc Welding Machine Using New Type N.C.T.," IEEE PESC., pp.1636-1641, 1998.
- [3] J.-W. Lim and B.-H. Kwon, "A Power-Factor Controller for Single-Phase PWM Rectifiers," IEEE Trans. Industrial Electronics., vol. 46, no. 5, pp. 1035-1037, 1999.
- [4] N. Mohan., T.M. Undeland and W.P. Robins "Power Electronic Converters, Applications, and Design," Second Edition, John Wiley & Sons.Inc.,1995.

